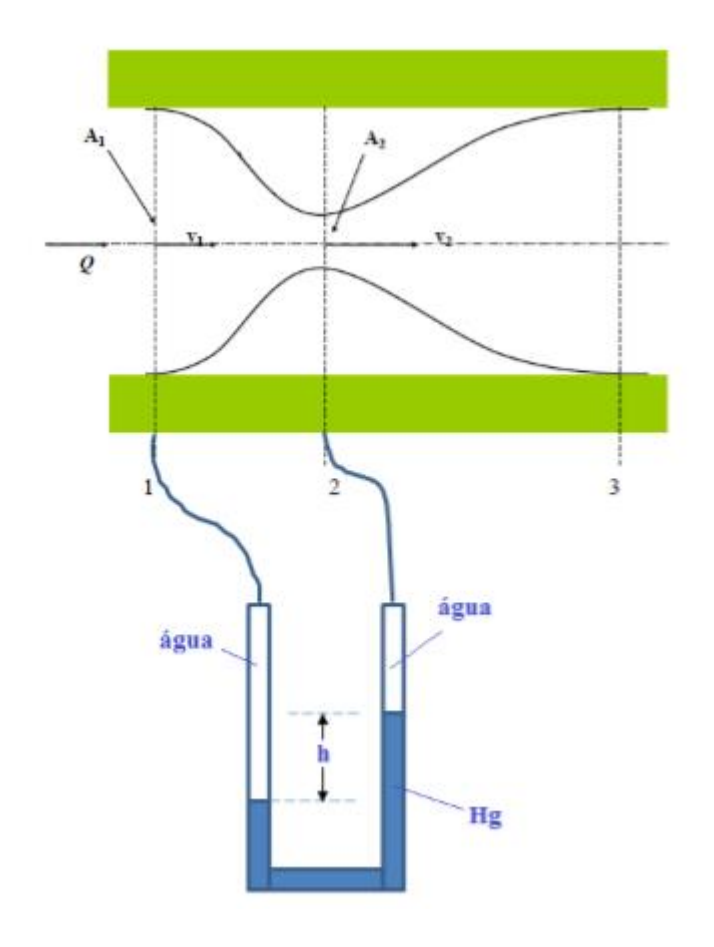
Exercício 101: Considerando o venturi (medidor de vazão) representado a seguir, sabendo que o diâmetro interno da seção (1) é igual a 40,8 mm (segundo a norma ANSI B3610 para o aço 40 corresponde a um diâmetro nominal de 1,5" e uma área de seção livre ( $A_1$ ) igual a 13,1 cm²), que o desnível do fluido manométrico ( $\rho_m = \rho_{Hg} = 13521 \text{ kg/m}^3$ ) é igual a 20 cm, especifique a vazão de escoamento considerando o fluido transportado, no caso a água ( $\rho_{água} = 998 \text{ kg/m}^3$ ), como sendo ideal. Dados:  $g = 9,8 \text{ m/s}^2$  e  $D_2 = 25 \text{ mm}$ .



Aplicando a equação de Bernoulli de (1) a (2):

$$\begin{split} H_1 &= H_2 \Rightarrow z_1 + \frac{p_1}{\gamma} + \frac{v_1^2}{2g} = z_2 + \frac{p_2}{\gamma} + \frac{v_2^2}{2g} \\ z_1 &= z_2 \ \because \frac{p_1 - p_2}{\gamma} = \frac{v_2^2 - v_1^2}{2g} \\ v_2^2 - v_1^2 &= 2g \times \left[ \frac{p_1 - p_2}{\gamma} \right] \rightarrow \text{equação (1)} \end{split}$$

A equação (1) apresenta quatro (4) incógnitas: p<sub>1</sub>, p<sub>2</sub>, v<sub>1</sub> e v<sub>2</sub>.

Aplicando a equação manométrica de (1) a (2):

$$p_1 - p_2 = h \times (\gamma_{Hg} - \gamma_{água}) = h \times g \times (\rho_{Hg} - \rho_{água}) \rightarrow equação (2)$$

Considerando a equação (2) na equação (1), resulta:

$$v_2^2 - v_1^2 = 2g \times h \times \left\lceil \frac{\gamma_{Hg} - \gamma_{\acute{a}gua}}{\gamma_{\acute{a}gua}} \right\rceil = 2g \times h \times \left\lceil \frac{\rho_{Hg} - \rho_{\acute{a}gua}}{\rho_{\acute{a}gua}} \right\rceil \rightarrow \text{equação (3)}$$

A equação (3) apresenta duas (2) incógnitas:  $v_1$  e  $v_2$ .

Aplicando a equação da continuidade entre (1) e (2):

$$\begin{split} &Q_1 = Q_2 \rightarrow v_1 \times A_1 = v_2 \times A_2 \\ &v_1 \times \frac{\pi \times D_1^2}{4} = v_2 \times \frac{\pi \times D_2^2}{4} \therefore v_1 = v_2 \times \left(\frac{D_2}{D_1}\right)^2 \\ &v_1^2 = v_2^2 \times \left(\frac{D_2}{D_1}\right)^4 \rightarrow \text{equação (4)} \end{split}$$

Considerando a equação (4) na equação (3), calculamos a velocidade média de escoamento na seção (2):

$$v_{2}^{2} - v_{2}^{2} \times \left(\frac{D_{2}}{D_{1}}\right)^{4} = 2g \times h \times \left[\frac{\rho_{Hg} - \rho_{\acute{a}gua}}{\rho_{\acute{a}gua}}\right]$$

$$v_{2}^{2} \left[1 - \left(\frac{D_{2}}{D_{1}}\right)^{4}\right] = 2g \times h \times \left[\frac{\rho_{Hg} - \rho_{\acute{a}gua}}{\rho_{\acute{a}gua}}\right]$$

$$\therefore v_{2} = \sqrt{\frac{2g \times h \times \left[\frac{\rho_{Hg} - \rho_{\acute{a}gua}}{\rho_{\acute{a}gua}}\right]}{1 - \left(\frac{D_{2}}{D_{1}}\right)^{4}}}$$

Tendo a velocidade média na seção (2), calculamos a vazão, *no caso teórica*, isto porque consideramos a água como um fluido ideal, ou seja, sem viscosidade.

$$Q_{te\'{o}rica} = v_2 \times A_2 = \frac{\pi \times D_2^2}{4} \times \sqrt{\frac{2g \times h \times \left[\frac{\rho_{Hg} - \rho_{\acute{a}gua}}{\rho_{\acute{a}gua}}\right]}{1 - \left(\frac{D_2}{D_1}\right)^4}}$$
 equação 35

$$\begin{split} Q_{teórica} &= \frac{\pi \times 0,025^2}{4} \times \sqrt{\frac{2 \times 9,8 \times 0,2 \times \left[\frac{13521 - 998}{998}\right]}{1 - \left(\frac{25}{40,8}\right)^4}} \\ Q_{teórica} &\cong 3,72 \times 10^{-3} \, \frac{m^3}{s} = 3,72 \, \frac{L}{s} \end{split}$$

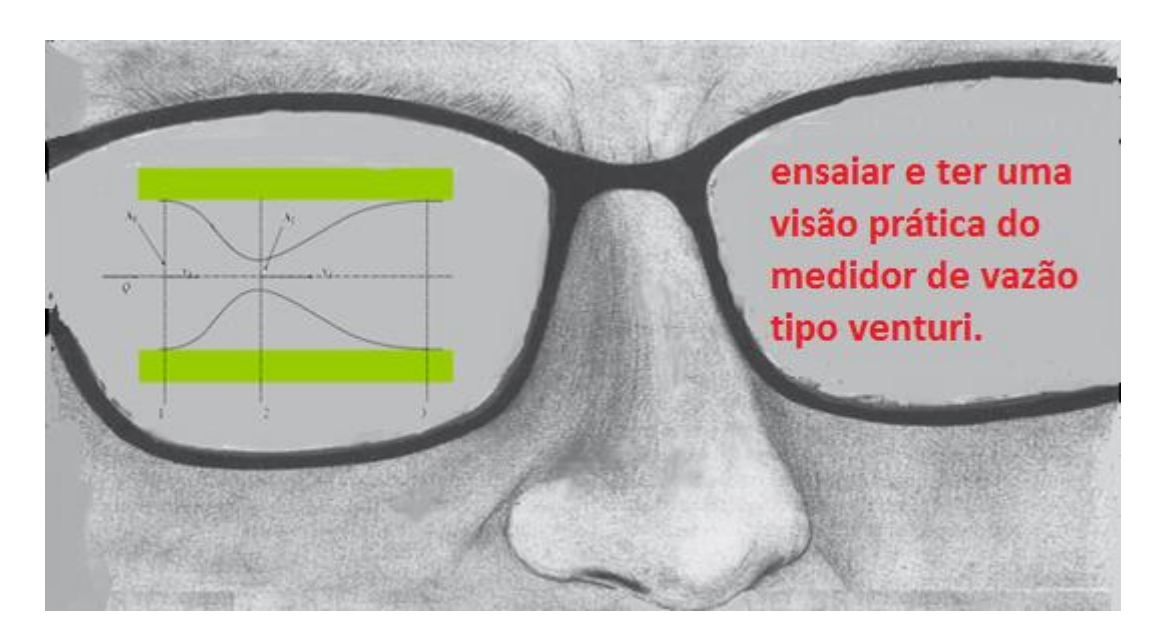
E COMO ACHAMOS A VAZÃO REAL?

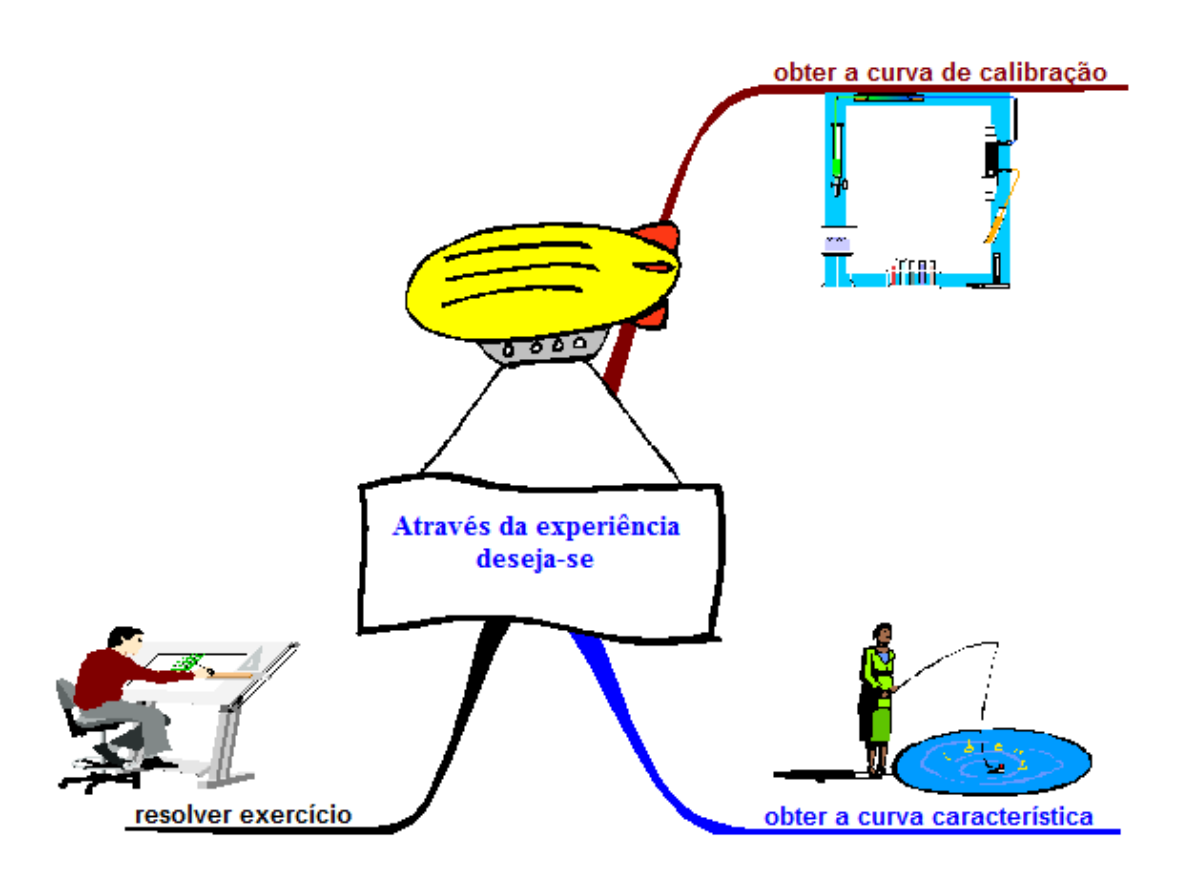
Através do coeficiente de vazão, também denominado de coeficiente de descarga - Cd

$$C_d = \frac{Q_{real}}{Q_{teórica}}$$
 equação 36

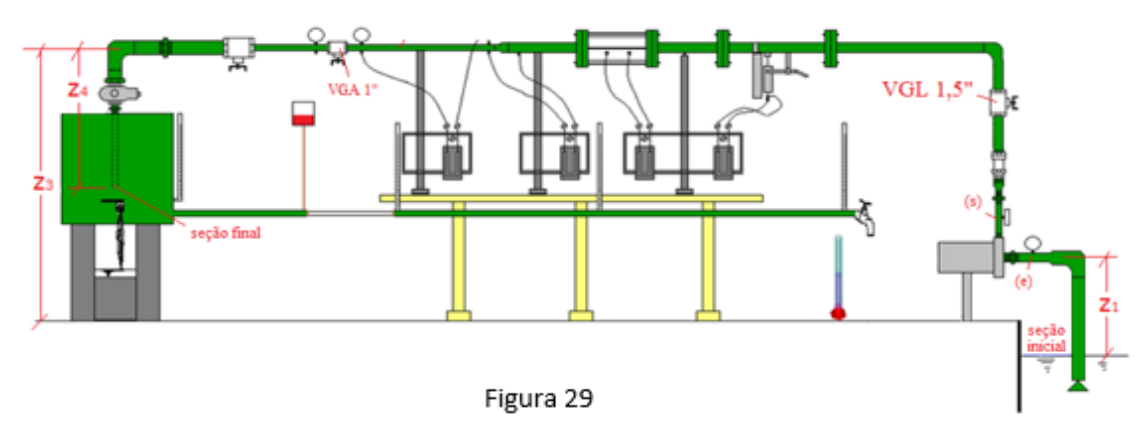
O coeficiente de vazão C<sub>d</sub> é determinado através de ensaios em laboratório.

4.5. Simulação da experiência do medidor de vazão venturi.





A figura 29 representa a bancada utilizada para a coleta de dados.



Através da válvula globo de 1,5" variamos a vazão de zero (válvula totalmente fechada) a vazão máxima (válvula totalmente aberta).

Para uma dada posição da válvula globo de 1,5", lemos o desnível do fluido manométrico (h), como mostra a foto a seguir:



Com o desnível h e conhecendo as dimensões do venturi ensaiado, como diâmetro de aproximação ( $D_1$ ), diâmetro mínimo ( $D_2$ ) e as característica do fluido bombeado (água) e do fluido manométrico (mercúrio), calculamos a vazão teórica do escoamento pela equação 37, que é praticamente igual a equação 35.

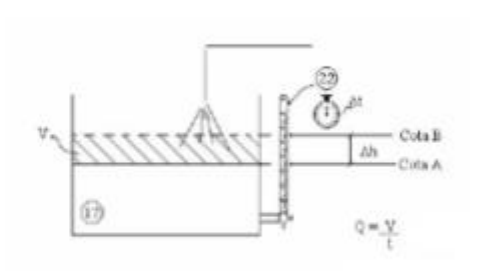
seção de aproximação.

$$Q_{te\acute{o}rica} = v_2 \times A_2 = \frac{\pi \times D_2^2}{4} \times \sqrt{\frac{2g \times h \times \left[\frac{\gamma_{Hg} - \gamma_{\acute{a}gua}}{\gamma_{\acute{a}gua}}\right]}{1 - \left(\frac{D_2}{D_1}\right)^4}}$$
 equação 37

Também para cada posição da válvula globo de 1,5", a vazão real do escoamento é obtida no tanque superior, cronometrando o tempo (t) para que o nível d'água suba um  $\Delta h$ .

$$Q_{real} = \frac{Volume}{tempo} = \frac{\Delta h \times A_{tan \, que}}{t}$$
 equação 38







Calculadas as vazões teórica e real, calculamos o coeficiente de vazão correspondente pela equação 36.

A experiência possibilita a obtenção da curva característica (figura 30), onde o *número* de Reynolds de aproximação (Re<sub>1</sub>) é calculado com a vazão real.

$$v_1 = \frac{Q_{real}}{A_1} \rightarrow Re_1 = \frac{v_1 \times D_1}{v}$$

A curva característica por ter na ordenada ( $C_d$ ) e na abscissa ( $Re_1$ ), ambos números adimensionais (números considerados universais) é considerada para uma relação de diâmetros ( $D_2/D_1$ ) uma *curva universal* (figura 30).

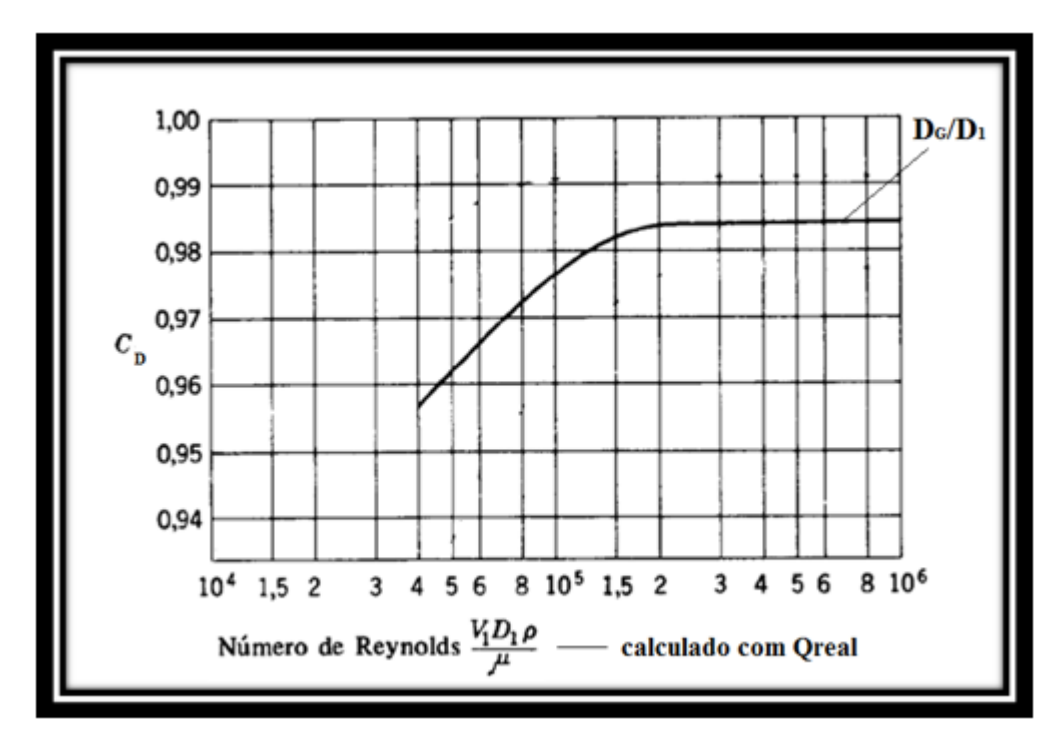


Figura 30

Já a curva de calibração (exemplo na figura 31), por ter nos eixos números dimensionais é considerada uma curva particular, ou seja, válida para as condições de ensaio.



Figura 31

Tabela de dados			
Ensaio	∆h (mm)	t(s)	h <sub>med</sub> (mm)
1			
2			
3			
4			
5			
6			
7			
8			
$D_{\text{medidor}} = 25 \text{mm}$ $D_1 = 40.8 \text{mm} \rightarrow A_1 = 13.1 \text{cm}^2$			
$temperatura = {}^{0}C; \rho_{\acute{a}gua} = \frac{kg}{m^{3}}; \rho_{Hg} = \frac{kg}{m^{3}};$			
$A_{tanque} = 0.5476 \text{m}^2$			

**Exercício 102:** Faça o relatório da experiência do medidor venturi e construa as curvas característica e de calibração.

## Dados:



Experiência dos medidores de vazão tipo Venturi e placa de orifício - parte teórica

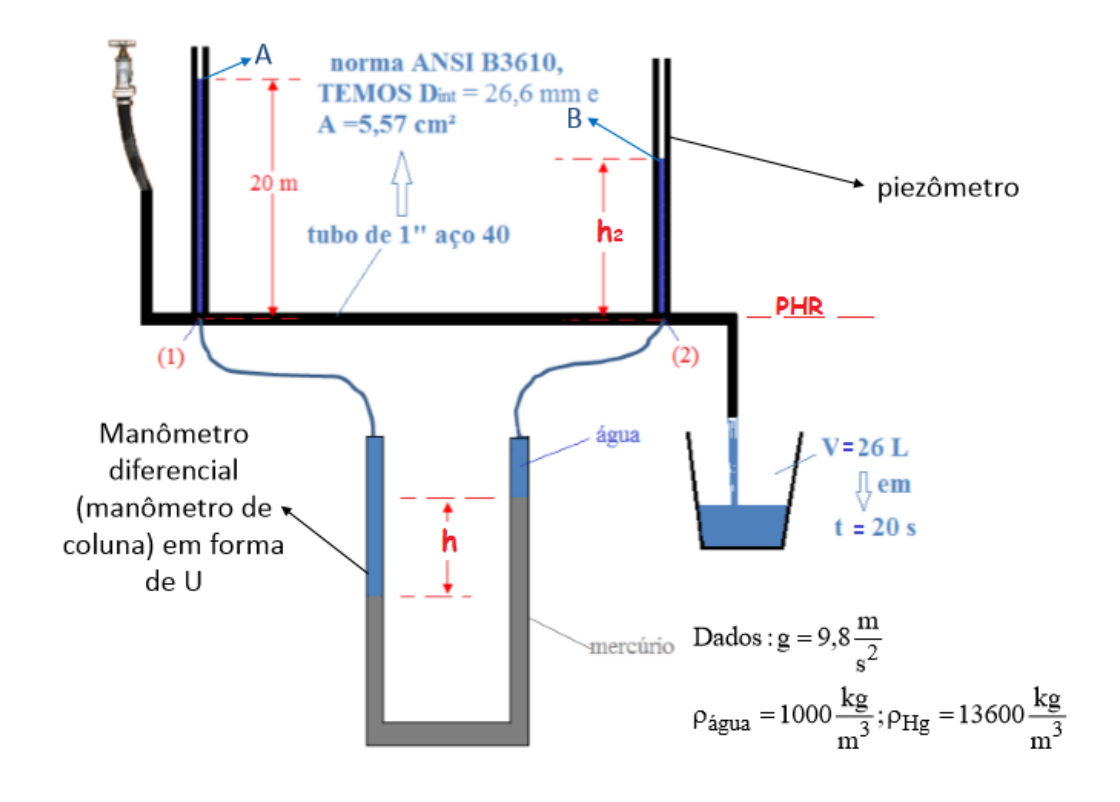
https://www.youtube.com/watch?v=WK7q3EIaSoc&feature=youtu.be



Experiência dos medidores de vazão tipo Venturi - coleta de dados

https://www.youtube.com/watch?v=Z94mVzmKuDI&feature=youtu.be





$$Q = \frac{V}{t} = \frac{26}{20} = 1.3 \frac{L}{s} \Rightarrow A = 5.57 \text{ cm}^2 = \text{cte} : v_1 = v_2 = \frac{Q}{A} = \frac{1.3 \times 10^{-3}}{5.57 \times 10^{-4}} \cong 2.334 \frac{\text{m}}{\text{s}}$$

Pela equação de Bernoulli, temos:

$$H_{1} = H_{2}$$

$$z_{1} + \frac{p_{1}}{\gamma} + \frac{v_{1}^{2}}{2g} = z_{2} + \frac{p_{2}}{\gamma} + \frac{v_{2}^{2}}{2g}$$

$$z_{1} = z_{2}$$

$$\therefore \frac{p_{1}}{\gamma} = \frac{p_{2}}{\gamma} = h_{2} = 20m$$

$$p_{1} = p_{2} \Rightarrow h = 0$$



Isto pode ser observado na prática?

A única possibilidade de ocorrer na prática seria as seções (1) e (2) estarem muito próximas, ou seja,  $L_{1-2}$  ser desprezível (figura 33).

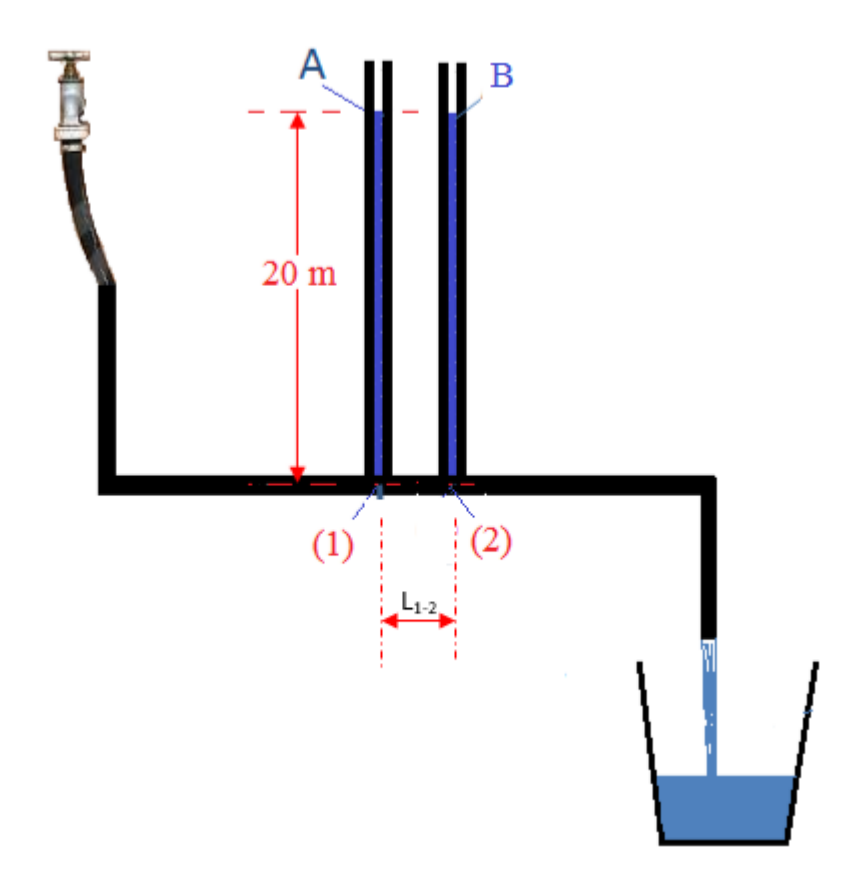
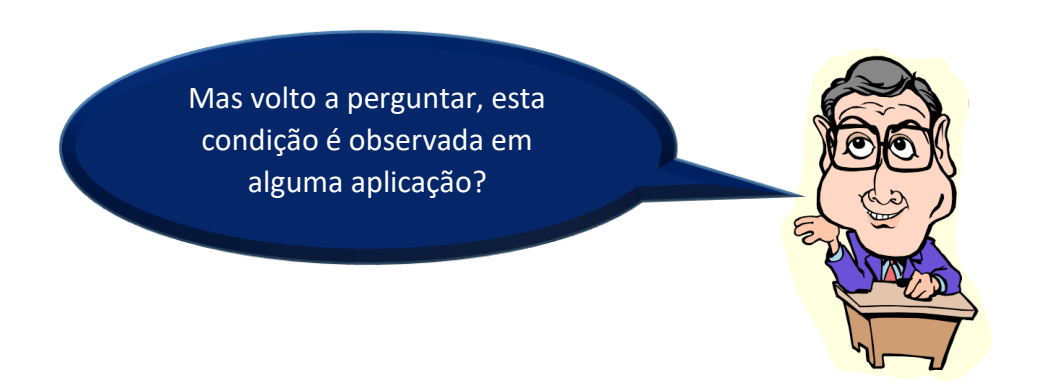


Figura 33

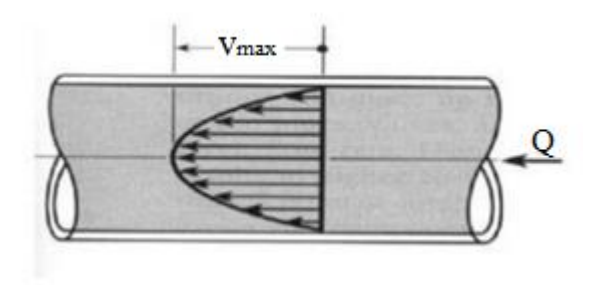




## 4.6. Tubo de Pitot

O instrumento foi apresentado em 1732 por Henry de Pitot, que afirmou: "a idéia deste instrumento é tão simples e natural que no momento que eu o concebi, corri imediatamente a um rio para fazer o primeiro experimento com um tubo de vidro".

O Pitot representado pela figura 34 possibilita a determinação da velocidade real do escoamento, mas para isto, tem que ser instalado sempre no sentido contrário ao escoamento.



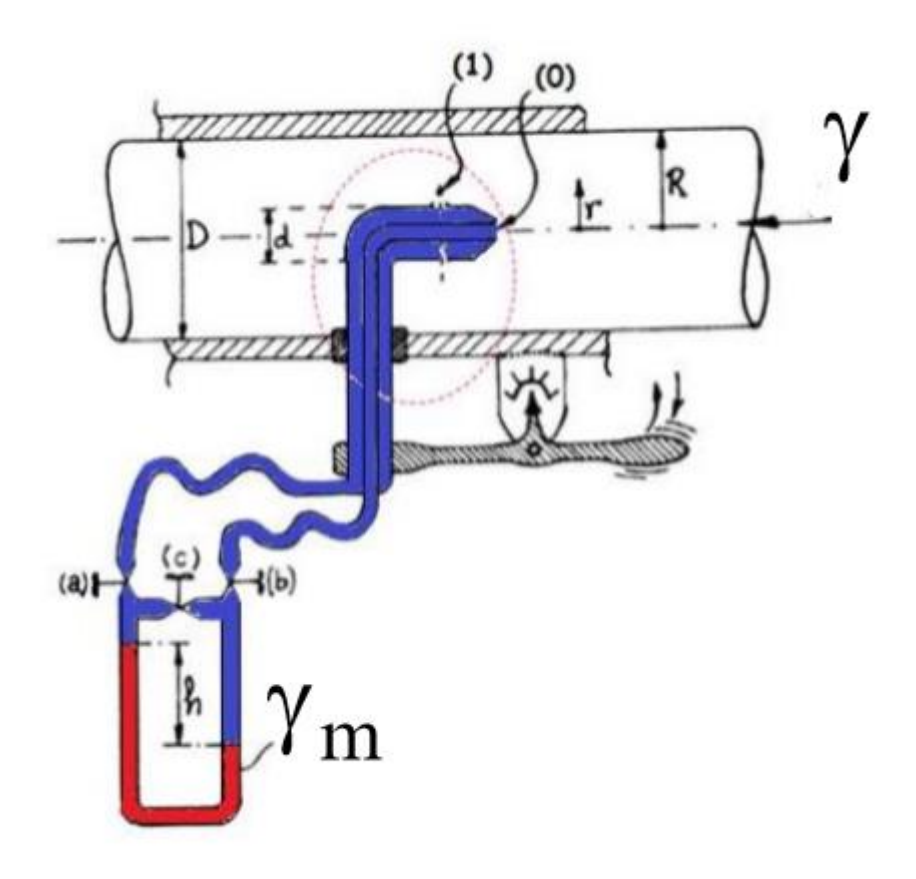


Figura 34

Para compreender o funcionamento do tubo de Pitot, é necessário ter claro o conceito de pressão total, pressão estática e pressão dinâmica.

Pressão dinâmica surge com a transformação da energia cinética em energia de pressão (figura 35).



Figura 35

Pressão estática é aquela que é obtida perpendicularmente ao escoamento (figura 36)

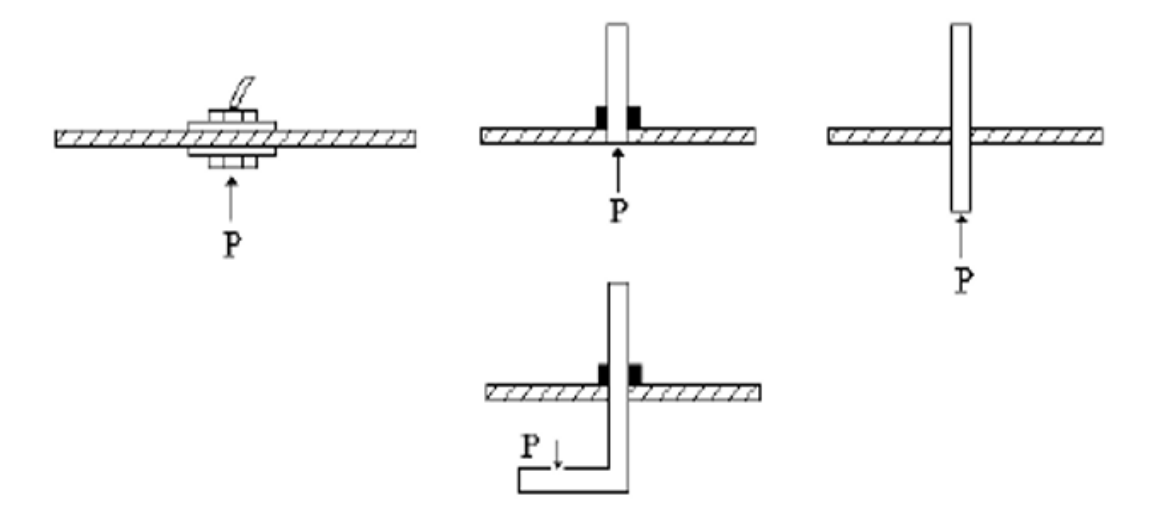


Figura 36

Pressão total é obtida somando-se a pressão estática com a pressão dinâmica (figura 37)

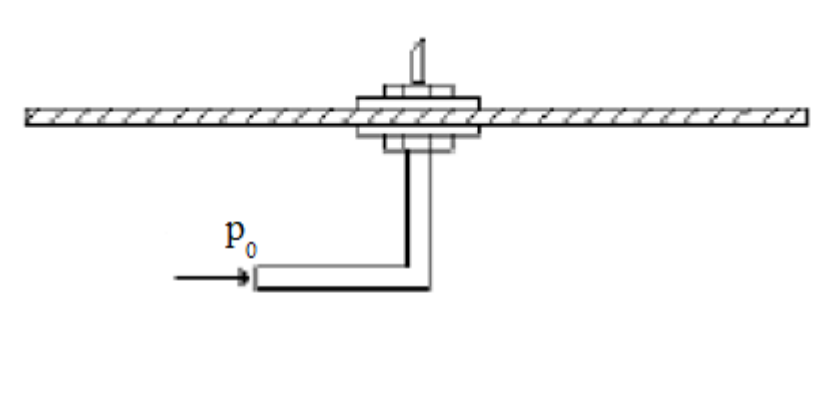


Figura 37

Para qualquer Pitot, como a distância entre as seções (0) e (1) é desprezível, podemos aplicar a equação da energia que se transforma na equação de Bernoulli já que para a situação a perda de carga é desprezível. Através da equação de Bernoulli é possível a determinação da velocidade real referente ao ponto (1) como mostra a equação 39.

$$H_0 = H_1$$

$$z_0 + \frac{p_0}{\gamma} + \frac{v_0^2}{2g} = z_1 + \frac{p_1}{\gamma} + \frac{v_1^2}{2g}$$

Como  $z_0 = z_1$  e no ponto (0) ocorre a transformação da energia cinética em energia de pressão, resulta  $v_0 = 0$ , resultando:

$$\frac{p_0}{\gamma} = \frac{p_1}{\gamma} + \frac{v_1^2}{2g} \Rightarrow \frac{v_1^2}{2g} = \frac{p_0 - p_1}{\gamma}$$

Portanto:

$$v_1 = v_{real} = \sqrt{2g \times \frac{p_0 - p_1}{\gamma}}$$
 equação 39

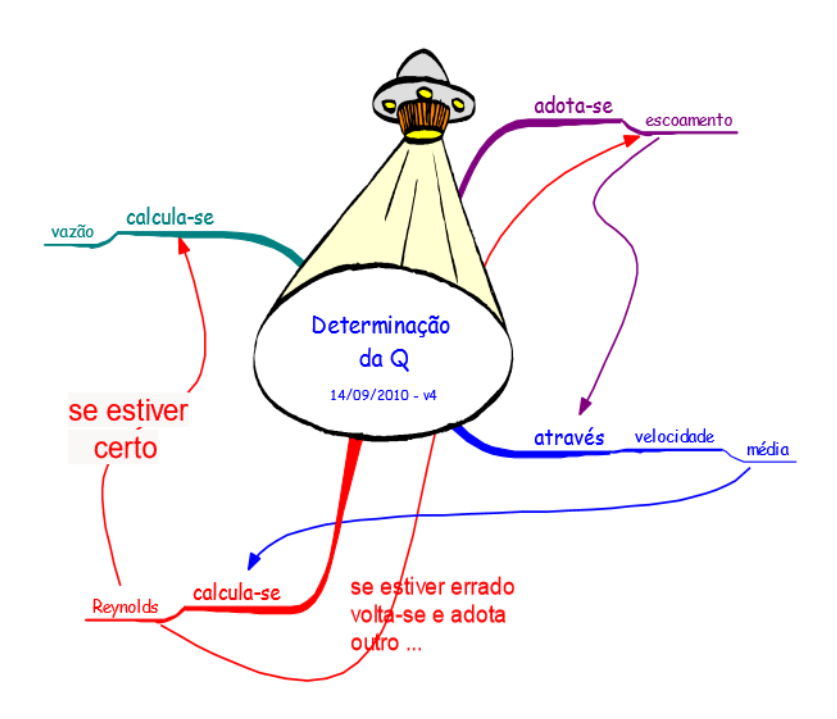
Importante observar que  $p_0 - p_1$  representa a pressão dinâmica e que para a situação da figura 34, aplicando a equação manométrica temos a equação 40:

$$p_0 - p_1 = h \times (\gamma_m - \gamma)$$
 equação 40

Considerando a equação 40 na equação 39, obtemos:

$$v_1 = v_{real} = \sqrt{2gh \times \left(rac{\gamma_m - \gamma}{\gamma}
ight)}$$
 equação 41

Tendo a velocidade real pelo tubo de Pitot, podemos determinar a vazão do escoamento.



Adotamos, por exemplo, o escoamento turbulento, onde sabemos que:

$$v_{\text{real}} = v_{\text{máx}} \times \left[1 - \frac{r}{R}\right]^{\frac{1}{7}}$$

Tendo a velocidade real, calculamos a velocidade máxima e com ela a velocidade média:

$$v = v_{m\text{\'e}dia} = \frac{49}{60} \times v_{m\'ax}$$

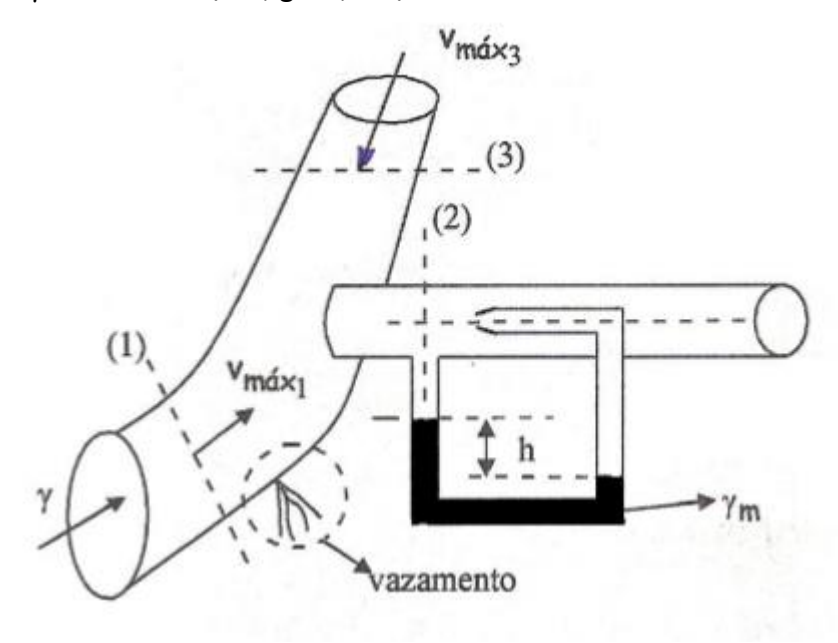
Tendo a velocidade média, determinamos a vazão do escoamento: Q = v x A.

Se o escoamento fosse laminar, teríamos:

$$v_{real} = v_{m\acute{a}x} \times \left[1 - \left(\frac{r}{R}\right)^{2}\right] \rightarrow v_{m\acute{e}dia} = \frac{v_{max}}{2}$$

**Exercício 103:** O engenheiro de manutenção constatou um vazamento em um trecho de uma dada instalação, como é esquematizado a seguir. Sabendo que o escoamento na seção (1) é laminar e que tem em (2) e (3) turbulento, pedese determinar a vazão do vazamento.

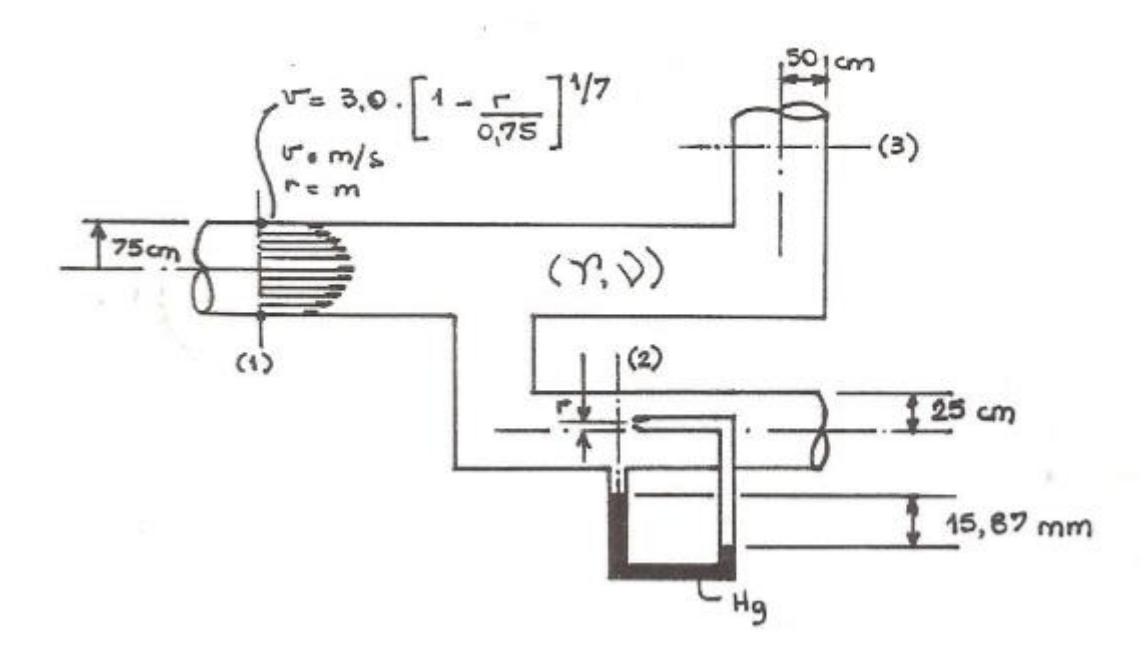
**Dados**: nas seções (1), (2) e (3) se considera conduto forçado de seção circular, onde se tem  $D_1$  = 38,1 mm;  $D_2$  = 15,6 mm;  $D_3$  = 26,6 mm;  $V_{máx1}$  = 1 m/s;  $V_{máx3}$  = 2 m/s; h = 3,7 cm;  $V_{max3}$  = 136000 N/m³;  $V_{max3}$  = 9,8 m/s²



Exercício 104: O esquema a seguir representa um trecho de uma instalação hidráulica, onde todas as tubulações são forçadas e de seção transversal circular. Pede-se as vazões em volume nas seções (1), (2), (3), bem como a classificação do escoamento incompressível na seção (3).

## Dados:

$$\rho_{\text{Hg}} = 13600 \, \frac{\text{kg}}{\text{m}^3}; \gamma = 9800 \, \frac{\text{N}}{\text{m}^3}; \nu = 10^{-6} \, \frac{\text{m}^2}{\text{s}}; r = \frac{25}{3} \, \text{cm}; g = 9.8 \, \frac{\text{m}}{\text{s}^2}$$

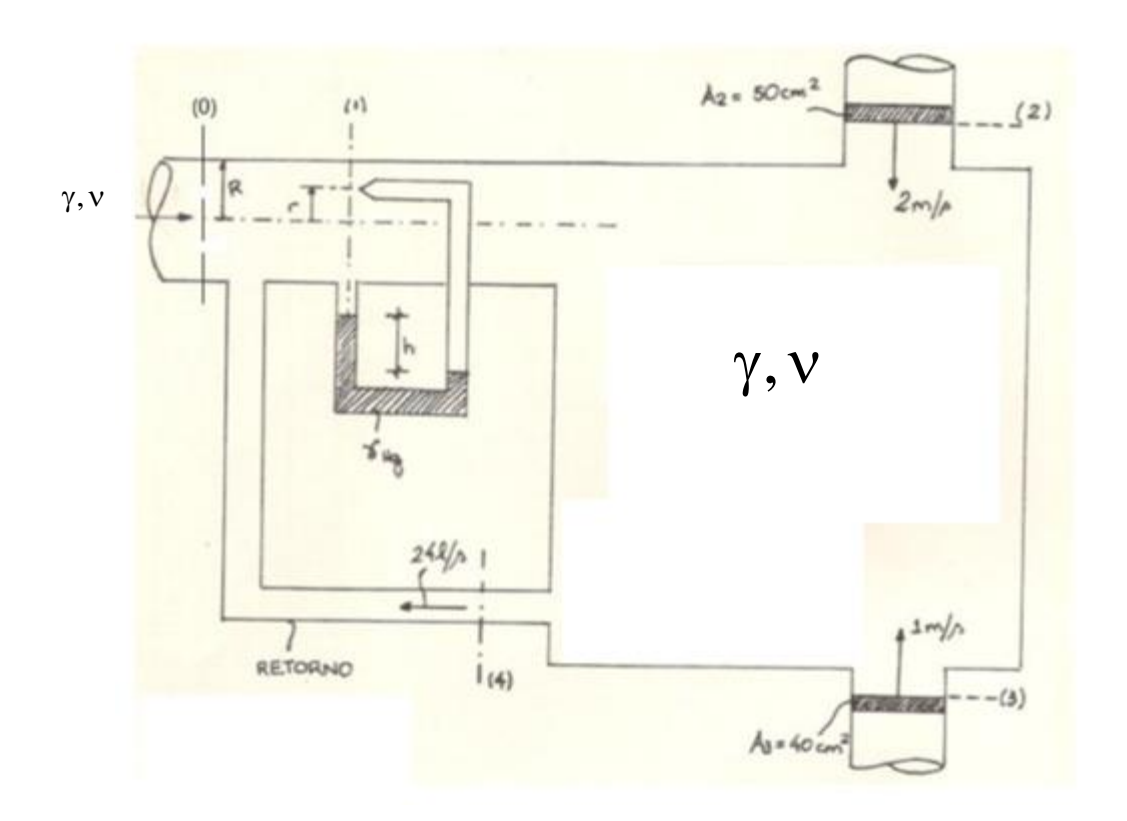


**Exercício 105:** Para o esquema a seguir, determine o desnível do fluido manométrico utilizado no manômetro acoplado ao tubo de Pitot e verifique se o sentido indicado para a seção (0) está correto.

## Dados:

R = 40 mm; r = 20 mm; na seção (1) o escoamento é turbulento;

$$\rho_{\text{Hg}} = 13600 \, \frac{\text{kg}}{\text{m}^3}; \gamma = 9800 \, \frac{\text{N}}{\text{m}^3}; \nu = 10^{-6} \, \frac{\text{m}^2}{\text{s}}; r = \frac{25}{3} \, \text{cm}; g = 9.8 \, \frac{\text{m}}{\text{s}^2}$$



O tempo do poeta é o futuro...

O tempo do político é o mandato...

O tempo do burocrata é a aposentadoria...

Então, qual será seu tempo?

